

УДК 517.98

© *Н. М. Хатамов***ЭКСТРЕМАЛЬНОСТЬ НЕКОТОРЫХ МЕР ГИББСА ДЛЯ *НС*-МОДЕЛИ БЛЮМА–КАПЕЛЯ НА ДЕРЕВЕ КЭЛИ**

В данной работе рассмотрены трансляционно-инвариантные меры Гиббса (ТИМГ) для *НС*-модели Блюма–Капеля в случае «обобщенный жезл» на дереве Кэли второго порядка. Найдено приближенное критическое значение  $\theta_{cr}$  такое, что при  $\theta \geq \theta_{cr}$  существует единственная ТИМГ, а при  $0 < \theta < \theta_{cr}$  существуют ровно три ТИМГ в случае «обобщенный жезл» для рассматриваемой модели. Кроме того, изучена задача (не)экстремальности для этих мер.

*Ключевые слова:* дерево Кэли, конфигурация, *НС*-модель Блюма–Капеля, мера Гиббса, трансляционно-инвариантные меры, экстремальность меры.

DOI: [10.35634/vm220207](https://doi.org/10.35634/vm220207)

Одна из основных проблем статистической физики — найти для данного гамильтониана все отвечающие ему меры Гиббса. Мера Гиббса — это фундаментальный закон, определяющий вероятность микроскопического состояния данной физической системы. Она играет важную роль в определении существования фазового перехода той или иной физической системы, так как каждой предельной мере Гиббса сопоставляется одна фаза физической системы, и происходит фазовый переход, когда мера Гиббса не единственна.

Кроме того, известно, что множество всех предельных мер Гиббса образует непустое выпуклое компактное подмножество в множестве всех вероятностных мер, и каждая точка этого выпуклого множества однозначно разлагается по его экстремальным точкам. В связи с этим особый интерес представляет описание всех экстремальных точек этого выпуклого множества, то есть экстремальных мер Гиббса (см. [1–4]).

В течение последних 10 лет фазовые диаграммы мер Гиббса на дереве Кэли изучались для многих моделей статистической физики. Например, в работах [5–7] изучали модель Изинга–Ваннименуса, модель Изинга со смешанными спинами и шаровую модель Изинга. В частности, еще в [8–11] рассматривается задача экстремальности для  $\lambda$ -модели, модели Поттса–SOS и модели Блюма–Капеля. В [12–14] изучались  $p$ -адические меры Гиббса для моделей Изинга и Поттса. В [15–17] исследуются основные состояния для  $\lambda$ -модели и модели Поттса с рассеянными конкурирующими взаимодействиями.

В работе Мазеля и Сухова была введена и изучена модель «hard core» (*НС*-модель) на  $d$ -мерной решетке  $Z^d$  (см. [18]). Работы [19–23] посвящены изучению мер Гиббса для *НС*-модели с двумя состояниями на дереве Кэли. В частности, в работе [21] дано полное описание слабо периодических мер Гиббса для *НС*-модели при любых значениях параметров в случае нормального делителя индекса 2.

В работе [24] выделены плодородные *НС*-модели, соответствующие графам «петля», «свисток», «жезл» и «ключ». Работы [25–28] посвящены изучению мер Гиббса для плодородных *НС*-моделей с тремя состояниями на дереве Кэли порядка  $k > 1$ . В частности, в работах [26] и [27] в случаях графов «петля» и «жезл» дано полное описание ТИМГ на дереве Кэли порядка  $k = 2$  и  $k = 3$  соответственно, а в работе [28] в этих случаях доказано существование не менее трех ТИМГ на дереве Кэли произвольного порядка и изучена экстремальность ТИМГ при  $k = 2$ .

Модель Блюма–Капеля — это двумерная спиновая система, где спин может принимать три значения:  $-1, 0, 1$ . Первоначально она была введена для изучения  $He^3 - He^4$  фазового перехода (см. [29]). Можно думать о ней как о системе частиц со спином. Значение  $\sigma(x) = 0$  спина на узле решетки (или на узле дерева)  $x$  будет соответствовать отсутствию частиц (вакансия), в то время как значения  $\sigma(x) = \pm 1$  будут соответствовать присутствию на узле  $x$  частицы со спином  $\pm 1$  соответственно (см. [29–31]). По поводу других результатов по модели Блюма–Капеля см., например, [32–35]. В частности, в работе [32] рассмотрены ТИМГ для модели Блюма–Капеля на дереве Кэли порядка  $k \geq 2$ . Найдено приближенное критическое значение температуры  $T_{cr}$  такое, что при  $T \geq T_{cr}$  существует единственная ТИМГ, а при  $T < T_{cr}$  существуют ровно три ТИМГ для рассматриваемой модели. Кроме того, изучена задача (не)экстремальности для единственной меры Гиббса. В работе [33] рассмотрены ТИМГ для модели Блюма–Капеля в случае «жезл» на дереве Кэли порядка  $k \geq 2$ . Найдено точное критическое значение  $\theta_{cr} = 1$  такое, что при  $\theta \geq \theta_{cr}$  существует единственная ТИМГ, а при  $0 < \theta < \theta_{cr}$  существуют ровно три ТИМГ в случае «жезл» для рассматриваемой модели. Кроме того, изучена задача (не)экстремальности для этих мер.

В настоящей работе рассмотрены ТИМГ для  $HC$ -модели Блюма–Капеля в случае «обобщенный жезл» на дереве Кэли порядка  $k = 2$ . Найдено приближенное критическое значение  $\theta_{cr}$  такое, что при  $\theta \geq \theta_{cr}$  существует единственная ТИМГ, а при  $0 < \theta < \theta_{cr}$  существуют ровно три ТИМГ в случае «обобщенный жезл» для рассматриваемой модели. Кроме того, изучена задача (не)экстремальности для этих мер.

Структура работы такова: в первом параграфе даны предварительные сведения и система функциональных уравнений; во втором параграфе найдено приближенное критическое значение  $\theta_{cr}$ , что при  $\theta \geq \theta_{cr}$  существует единственная ТИМГ, а при  $0 < \theta < \theta_{cr}$  существуют ровно три ТИМГ; в третьем и четвертом параграфе изучена (не)экстремальность этих мер.

## § 1. Предварительные сведения и система функциональных уравнений

Дерево Кэли  $\Gamma^k = (V, L)$  порядка  $k \geq 1$  — это бесконечное дерево, то есть граф без циклов, из каждой вершины которого выходит ровно  $k + 1$  ребер, где  $V$  есть множество вершин  $\Gamma^k$ ,  $L$  — его множество ребер. Пусть  $i$  — функция инцидентности, сопоставляющая каждому ребру  $l \in L$  его концевые точки  $x, y \in V$ . Если  $i(l) = \{x, y\}$ , то вершины  $x$  и  $y$  называются *ближайшими соседями* и обозначаются через  $\langle x, y \rangle$ . Пусть  $d(x, y)$ ,  $x, y \in V$ , есть расстояние между вершинами  $x, y$ , то есть количество ребер кратчайшего пути, соединяющего  $x$  и  $y$ .

Рассмотрим модель, где спин принимает значения из множества  $\Phi = \{-1, 0, 1\}$ . Тогда конфигурация  $\sigma$  на  $V$  определяется как функция  $x \in V \rightarrow \sigma(x) \in \Phi$ ; множество всех конфигураций совпадает с  $\Omega = \Phi^V$ . Пусть  $A \subset V$ . Обозначим через  $\Omega_A$  пространство конфигураций, определенных на множестве  $A$ .

Рассмотрим граф с тремя вершинами  $-1, 0, 1$  (на множестве значений  $\sigma(x)$ ), который имеет следующий вид (см. [4, 24]):

$$\text{обобщенный жезл: } \{0, -1\}, \quad \{0, 1\}, \quad \{-1, -1\}, \quad \{-1, 1\}, \quad \{1, 1\}.$$

Гамильтониан модели Блюма–Капеля определяется следующим образом:

$$H(\sigma) = J \sum_{\langle x, y \rangle, x, y \in V} (\sigma(x) - \sigma(y))^2, \quad (1.1)$$

где  $J \in \mathbb{R}$ .

Пусть  $x^0 \in V$  — фиксированная точка. Будем писать  $x \prec y$ , если путь от  $x^0$  до  $y$  проходит через  $x$ .

Обозначим:

$$W_n = \{x \in V : d(x^0, x) = n\}, \quad V_n = \{x \in V : d(x^0, x) \leq n\}.$$

Точка  $y$  называется «прямым потомком» точки  $x$ , если  $x \prec y$  и  $d(x, y) = 1$ .

Обозначим через  $S(x)$  множество «прямых потомков» точки  $x \in V$ .

Пусть  $O = \{\text{обобщенный жезл}\}$ ,  $G \in O$ . Конфигурация  $\sigma$  называется  $G$ -допустимой конфигурацией на дереве Кэли (в  $V_n$  или  $W_n$ ), если  $\{\sigma(x), \sigma(y)\}$  — ребро  $G$  для любой ближайшей пары соседей  $x, y$  из  $V$  (из  $V_n$ ). Обозначим множество  $G$ -допустимых конфигураций через  $\Omega^G$  ( $\Omega_{V_n}^G$ ).

Пусть  $h: x \mapsto h_x = (h_{-1,x}, h_{0,x}, h_{1,x})$  — вектор-функция от  $x \in V \setminus \{x^0\}$ . Рассмотрим вероятностное распределение  $\mu^{(n)}$  на  $\Omega_{V_n}^G$ :

$$\mu^{(n)}(\sigma_n) = Z_n^{-1} \exp\{-\beta H(\sigma_n) + \sum_{x \in W_n} h_{\sigma(x), x}\}, \quad (1.2)$$

где  $\sigma_n \in \Omega_{V_n}^G$ ,  $Z_n = \sum_{\bar{\sigma}_n \in \Omega_{V_n}^G} \exp\{-\beta H(\bar{\sigma}_n) + \sum_{x \in W_n} h_{\bar{\sigma}(x), x}\}$  и  $h_{\bar{\sigma}, x} \in R$ .

Говорят, что вероятностные распределения  $\mu^{(n)}$ ,  $n \geq 1$ , согласованы, если

$$\sum_{\sigma^{(n)}} \mu^{(n)}(\sigma_{n-1}, \sigma^{(n)}) = \mu^{(n-1)}(\sigma_{n-1}) \quad (1.3)$$

для всех  $n \geq 1$  и  $\sigma_{n-1} \in \Omega_{V_{n-1}}^G$ .

В этом случае существует единственная мера  $\mu$  на  $\Omega_V^G$  такая, что

$$\mu(\{\sigma |_{V_n} = \sigma_n\}) = \mu^{(n)}(\sigma_n),$$

для всех  $n \geq 1$  и  $\sigma_n \in \Omega_{V_n}^G$ .

Пусть  $L(G)$  — множество ребер графа  $G$ . Обозначим через  $A \equiv A^G = (a_{ij})_{i,j=-1,0,+1}$  матрицу смежности  $G$ , то есть

$$a_{ij} \equiv a_{ij}^G = \begin{cases} 1, & \text{если } \{i, j\} \in L(G), \\ 0, & \text{если } \{i, j\} \notin L(G). \end{cases}$$

Следующая теорема дает необходимые и достаточные условия на  $h_{i,x}$ , при которых выполняется (1.3).

**Теорема 1** (см. [33]). Пусть  $k \geq 2$ . Вероятностные распределения  $\mu^{(n)}(\sigma_n)$ ,  $n = 1, 2, \dots$ , в (1.2) согласованы тогда и только тогда, когда для любого  $x \in V$  имеют место следующие равенства:

$$\begin{cases} z_{1,x} = \prod_{y \in S(x)} \frac{a_{1,-1}\theta^4 z_{-1,y} + a_{1,0}\theta + a_{1,1}z_{1,y}}{a_{0,-1}\theta z_{-1,y} + a_{0,0} + a_{0,1}\theta z_{1,y}}, \\ z_{-1,x} = \prod_{y \in S(x)} \frac{a_{-1,-1}z_{-1,y} + a_{-1,0}\theta + a_{-1,1}\theta^4 z_{1,y}}{a_{0,-1}\theta z_{-1,y} + a_{0,0} + a_{0,1}\theta z_{1,y}}, \end{cases} \quad (1.4)$$

где  $\theta = \exp\{-J\beta\}$ ,  $\beta = 1/T$ ,  $z_{i,x} = \exp(h_{i,x} - h_{0,x})$ ,  $i = -1, 1$ .

## § 2. Трансляционно-инвариантные меры Гиббса

ТИМГ соответствуют решениям (1.4) с  $z_{i,x} = z_i$  при всех  $x \in V$  и  $i = -1, 1$ . Для удобства, обозначим  $z_1 = z_1, z_{-1} = z_2$ . Тогда система уравнений (1.4) в случае «обобщенный жезл» имеет вид

$$\begin{cases} z_1 = \left( \frac{\theta + z_1 + \theta^4 z_2}{\theta z_1 + \theta z_2} \right)^k, \\ z_2 = \left( \frac{\theta + \theta^4 z_1 + z_2}{\theta z_1 + \theta z_2} \right)^k, \end{cases} \quad (2.1)$$

Пусть  $z_1 = z_2 = z$ . Тогда из (2.1) получим

$$z = \left( \frac{\theta + (1 + \theta^4)z}{2\theta z} \right)^k, \quad (2.2)$$

и справедлива следующая лемма.

**Лемма 1.** Пусть  $k \geq 2$ . Для любого  $\theta > 0$  уравнение (2.2) имеет единственное решение.

**Доказательство.** Запишем уравнение (2.2) в виде

$$z = f(z), \quad (2.3)$$

где

$$f(z) = \left( \frac{\theta + (1 + \theta^4)z}{2\theta z} \right)^k.$$

Заметим, что производная функции  $f(z)$

$$f'(z) = k \left( \frac{\theta + (1 + \theta^4)z}{2\theta z} \right)^{k-1} \left( -\frac{1}{2z^2} \right) < 0,$$

то есть функция  $f(z)$  является убывающей при  $z > 0$ . Значит, уравнение (2.3) имеет единственное решение  $z^* = z^*(k, \theta)$  для любой  $\theta > 0$ .  $\square$

Далее, вычитая из первого уравнения системы (2.1) второе, получаем

$$(z_1 - z_2) \left[ 1 - (1 - \theta^4) \frac{(\theta + z_1 + \theta^4 z_2)^{k-1} + \dots + (\theta + \theta^4 z_1 + z_2)^{k-1}}{(\theta z_1 + \theta z_2)^k} \right] = 0. \quad (2.4)$$

Следовательно,  $z_1 = z_2$  или

$$\theta^k (z_1 + z_2)^k = (1 - \theta^4) \left( (\theta + z_1 + \theta^4 z_2)^{k-1} + \dots + (\theta + \theta^4 z_1 + z_2)^{k-1} \right). \quad (2.5)$$

Для  $z_1 = z_2 = z$  из леммы 1 получим, что система (2.1) имеет единственное решение  $(z^*, z^*)$ .

Рассмотрим случай, когда  $k = 2$ . В этом случае справедлива следующая теорема.

**Теорема 2.** Для НС-модели Блюма–Капеля в случае «обобщенный жезл» существует  $\theta_{cr} \approx 0.6589252$ , такое, что при  $\theta \geq \theta_{cr}$  существует единственная ТИМГ  $\mu_0$ ; при  $0 < \theta < \theta_{cr}$  существуют три ТИМГ  $\mu_0, \mu_1, \mu_2$ .

Доказательство. Из (2.4) при  $k = 2$  получим

$$(z_1 - z_2) \left( 1 - (1 - \theta^4) \frac{2\theta + (z_1 + z_2) + \theta^4(z_1 + z_2)}{\theta^2(z_1 + z_2)^2} \right) = 0.$$

Из леммы 1 известно, что в случае  $z_1 = z_2$  при любых  $\theta > 0$  для модели (1.2) существует единственная ТИМГ  $\mu_0$ .

Пусть  $z_1 \neq z_2$ . Тогда

$$\theta^2(z_1 + z_2)^2 = (1 - \theta^4)(2\theta + (z_1 + z_2) + \theta^4(z_1 + z_2)).$$

Отсюда

$$\theta^2(z_1 + z_2)^2 - (1 - \theta^8)(z_1 + z_2) + 2\theta(\theta^4 - 1) = 0.$$

Решив это уравнение относительно  $z_1 + z_2$ , получим

$$(z_1 + z_2)_{1,2} = \frac{1 - \theta^8 \pm \sqrt{D(\theta)}}{2\theta^2} = \varphi_{1,2}(\theta), \quad (2.6)$$

где

$$D(\theta) = \theta^{16} - 2\theta^8 - 8\theta^7 + 8\theta^3 + 1.$$

По известной теореме Декарта о количестве положительных корней многочлена многочлен  $D(\theta)$  имеет не более двух положительных корней (см. [36]). Разложим многочлен  $D(\theta)$  на множители

$$D(\theta) = (\theta - 1)(\theta + 1)(\theta^2 + 1)(\theta^{12} + \theta^8 - \theta^4 - 8\theta^3 - 1).$$

Отсюда один из корней  $\theta = 1$ , а второй корень является корнем многочлена

$$\theta^{12} + \theta^8 - \theta^4 - 8\theta^3 - 1,$$

то есть  $\theta \approx 1.23842$ . Это также можно увидеть из рис. 1, а.

Тогда  $D(\theta) > 0$ , если  $\theta \in (0; 1) \cup (1.23842; +\infty)$  (см. рис. 1, а).

Очевидно, что при  $\theta \in (0; 1)$  функция  $\varphi_1(\theta) = \frac{1 - \theta^8 + \sqrt{D(\theta)}}{2\theta^2} > 0$ .

Пусть  $\theta \in (1.23842; +\infty)$ . Тогда покажем, что  $\varphi_1(\theta) = \frac{1 - \theta^8 + \sqrt{D(\theta)}}{2\theta^2} < 0$ . Действительно, из последнего неравенства получим  $\sqrt{D(\theta)} < \theta^8 - 1$ . Отсюда  $D(\theta) < (\theta^8 - 1)^2$ , так как  $\theta^8 - 1 > 0$  при  $\theta \in (1.23842; +\infty)$ . Тогда из неравенства  $D(\theta) = (\theta^8 - 1)^2 - 8\theta^3(\theta^4 - 1) < (\theta^8 - 1)^2$  получим неравенство  $\theta^4 - 1 > 0$ , которое верно при всех  $\theta \in (1.23842; +\infty)$ .

При  $\theta \in (0; 1) \cup (1.23842; +\infty)$   $\varphi_2(\theta) = \frac{1 - \theta^8 - \sqrt{D(\theta)}}{2\theta^2} < 0$ . Проверим  $\varphi_2(\theta) < 0$ . Это неравенство очевидно при  $\theta \in (1.23842; +\infty)$ . Пусть  $\theta \in (0; 1)$ . Тогда из неравенства  $\varphi_2(\theta) < 0$  получим  $1 - \theta^8 - \sqrt{D(\theta)} < 0$ . Так как  $\theta \in (0; 1)$ , то  $(1 - \theta^8)^2 < D(\theta) = (\theta^8 - 1)^2 - 8\theta^3(\theta^4 - 1)$ . Тогда получим  $1 - \theta^4 > 0$  — верное неравенство.

Таким образом,  $z_1 + z_2 = \varphi_1(\theta)$  при  $\theta \in (0; 1)$ . Отсюда с учетом первого из уравнений (2.1) получим квадратное уравнение относительно  $z_1$ , то есть

$$(1 - \theta^4)^2 z_1^2 + (2(\theta + \theta^4 \varphi_1(\theta))(1 - \theta^4) - \theta^2 \varphi_1^2(\theta)) z_1 + (\theta + \theta^4 \varphi_1(\theta))^2 = 0. \quad (2.7)$$

Здесь

$$D_1(\theta) = [2(\theta + \theta^4 \varphi_1(\theta))(1 - \theta^4) - \theta^2 \varphi_1^2(\theta)]^2 - 4(1 - \theta^4)^2 (\theta + \theta^4 \varphi_1(\theta))^2 > 0,$$

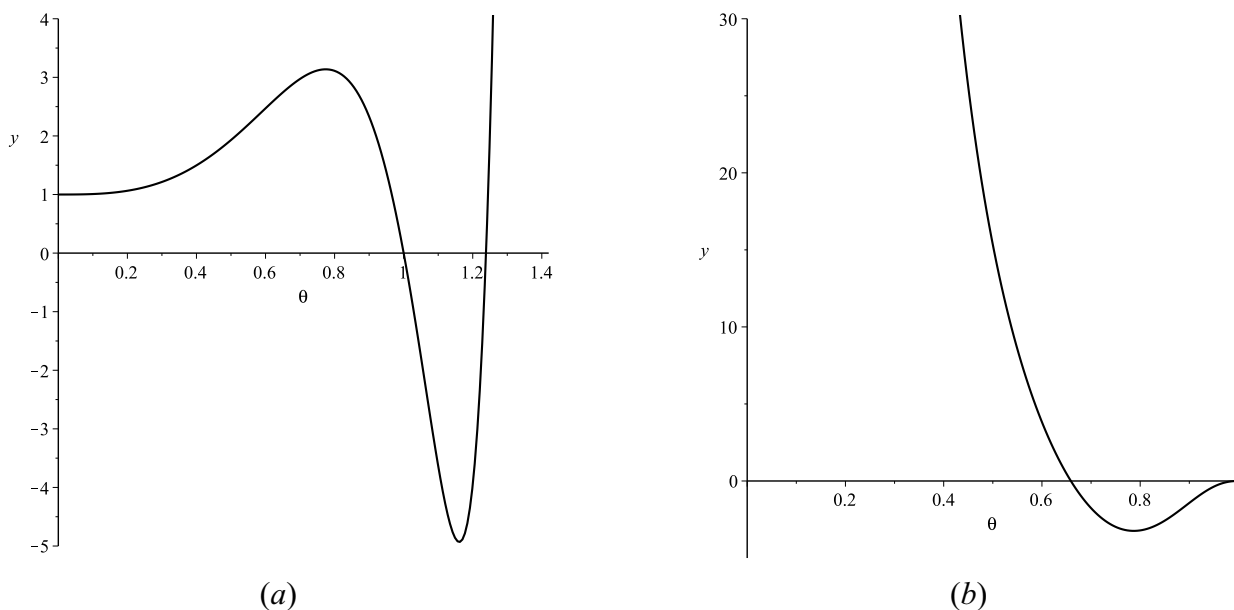


Рис. 1. (а) график функции  $D(\theta)$ ; (б) график функции  $D_1(\theta)$

т. е.

$$D_1(\theta) = \theta^2 \varphi_1^2(\theta) (1 - \theta^4) ((1 - 3\theta^4) \varphi_1(\theta) - 2\theta) > 0,$$

при  $0 < \theta < \theta_{cr} \approx 0.6589252$  (см. рис. 1, б).

Значит, уравнение (2.7) имеет два положительных решения при  $0 < \theta < \theta_{cr} \approx 0.6589252$ :

$$z_1^{(1)}(\theta) = \frac{1}{2} \varphi_1(\theta) + \frac{\sqrt{D_1(\theta)}}{2(1 - \theta^4)^2}, \quad z_1^{(2)}(\theta) = \frac{1}{2} \varphi_1(\theta) - \frac{\sqrt{D_1(\theta)}}{2(1 - \theta^4)^2}. \quad (2.8)$$

Компьютерный и громоздкий аналитический анализ показывает, что

$$\lim_{\theta \rightarrow +\infty} z_1^{(1)}(\theta) = +\infty, \quad \lim_{\theta \rightarrow +\infty} z_1^{(2)}(\theta) = 0, \quad \lim_{\theta \rightarrow \theta_{cr}} z_1^{(1)}(\theta) = \lim_{\theta \rightarrow \theta_{cr}} z_1^{(2)}(\theta) = \frac{1}{2} \varphi_1(\theta_{cr}) \approx 1.5166642,$$

и  $z_1^{(1)} > 0$ ,  $z_1^{(2)} > 0$  (см. рис. 2, а).

Так как  $z_1 + z_2 = \varphi_1(\theta)$ , то

$$z_2^{(1)} = z_1^{(2)}, \quad z_1^{(1)} = z_2^{(2)},$$

то есть решения системы  $(z_1, z_2)$  и  $(z_2, z_1)$  симметричны. Этим решениям соответствуют, по теореме 1, ТИМГ  $\mu_1, \mu_2$ .  $\square$

### § 3. Условия не экстремальности мер $\mu_0, \mu_1, \mu_2$

Чтобы проверить не экстремальность меры, воспользуемся методом из работ [37–39]. Для этого рассмотрим цепи Маркова с состояниями  $\{-1, 0, 1\}$  и матрицу  $P_\mu$  вероятностных переходов  $P_{\sigma(x)\sigma(y)}$ , определенную данной ТИМГ  $\mu$ , то есть  $P_{\sigma(x)\sigma(y)}$  — вероятность сдвига от состояния  $\sigma(x)$  к состоянию  $\sigma(y)$ .

Достаточным условием не экстремальности меры Гиббса, соответствующей матрице  $P_\mu$  является то, что  $k\lambda_2^2 > 1$ , где  $\lambda_2$  — это второе по модулю максимальное собственное значение матрицы  $P_\mu$  (условие Кестена–Стигума).

Чтобы проверить это условие, надо знать явный вид решения системы (2.1). Точные решения мы знаем пока только при  $k = 2$ .

Ясно, что при  $k = 2$  система уравнений (2.1) при  $\theta \geq \theta_{cr} \approx 0.6589252$  имеет единственное решение  $(z^*, z^*)$ , где  $z^*$  — единственное решение уравнения

$$z = \left( \frac{\theta + (1 + \theta^4)z}{2\theta z} \right)^2, \quad (3.1)$$

и при  $0 < \theta < \theta_{cr} \approx 0.6589252$  имеет три решения  $(z^*, z^*)$ ,  $(z_1, z_2)$ ,  $(z_2, z_1)$ , где  $z_1$  и  $z_2$  определены следующими формулами:

$$z_1 = \frac{1}{2}\varphi_1(\theta) + \frac{\sqrt{D_1}}{2(1 - \theta^4)^2}, \quad z_2 = \frac{1}{2}\varphi_1(\theta) - \frac{\sqrt{D_1}}{2(1 - \theta^4)^2}. \quad (3.2)$$

Найдем условия не экстремальности мер, соответствующим этим решениям. Для этого рассмотрим

$$P_{\sigma(x)\sigma(y)} = \frac{a_{\sigma(x),\sigma(y)} \exp\{-J\beta(\sigma(x) - \sigma(y))^2 + h_{\sigma(y)}\}}{\sum_{\tilde{\sigma}(y) \in \{-1,0,1\}} a_{\sigma(x),\tilde{\sigma}(y)} \exp\{-J\beta(\sigma(x) - \tilde{\sigma}(y))^2 + h_{\tilde{\sigma}(y)}\}}.$$

В этом случае  $G$  = «обобщенный жезл»,

$$\begin{aligned} a_{-1,-1} &= 1, & a_{-1,0} &= 1, & a_{-1,1} &= 1, \\ a_{0,-1} &= 1, & a_{0,0} &= 0, & a_{0,1} &= 1, \\ a_{1,-1} &= 1, & a_{1,0} &= 1, & a_{1,1} &= 1. \end{aligned}$$

Отсюда, получаем

$$\begin{aligned} P_{-1,-1} &= \frac{z_2}{z_2 + \theta + \theta^4 z_1}, & P_{-1,0} &= \frac{\theta}{z_2 + \theta + \theta^4 z_1}, & P_{-1,1} &= \frac{\theta^4 z_1}{z_2 + \theta + \theta^4 z_1}, \\ P_{0,-1} &= \frac{z_2}{z_2 + z_1}, & P_{0,0} &= 0, & P_{0,1} &= \frac{z_1}{z_2 + z_1}, \\ P_{1,-1} &= \frac{\theta^4 z_2}{\theta^4 z_2 + \theta + z_1}, & P_{1,0} &= \frac{\theta}{\theta^4 z_2 + \theta + z_1}, & P_{1,1} &= \frac{z_1}{\theta^4 z_2 + \theta + z_1}. \end{aligned}$$

Следовательно,

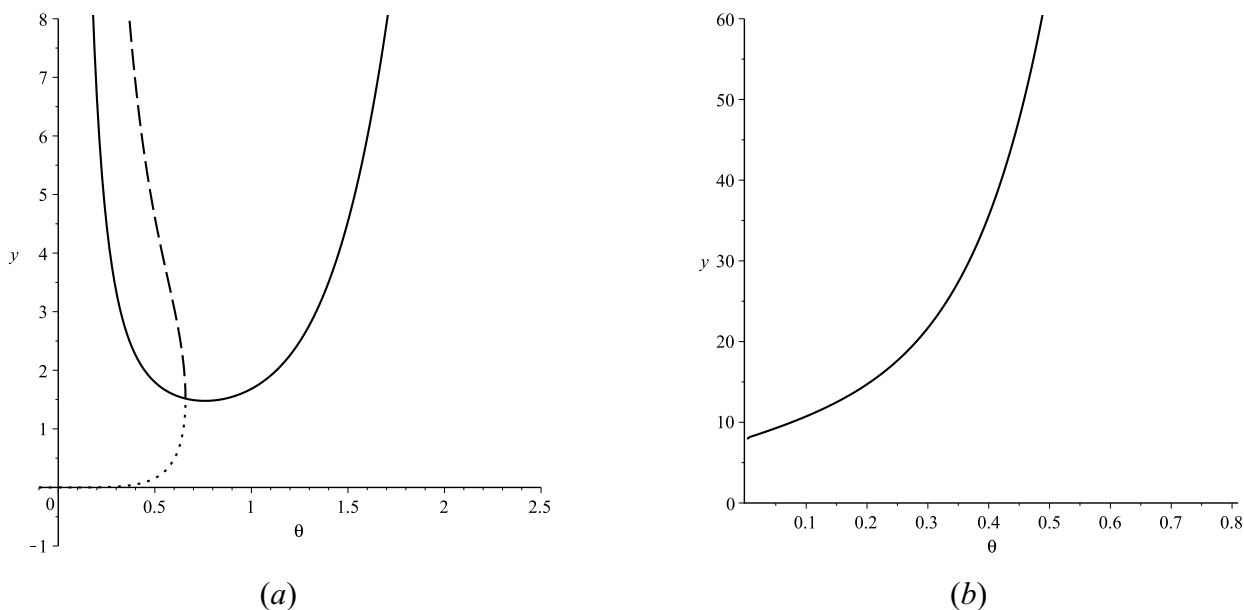
$$\mathbb{P} = \begin{pmatrix} \frac{z_2}{z_2 + \theta + \theta^4 z_1} & \frac{\theta}{z_2 + \theta + \theta^4 z_1} & \frac{\theta^4 z_1}{z_2 + \theta + \theta^4 z_1} \\ \frac{z_2}{z_2 + z_1} & 0 & \frac{z_1}{z_2 + z_1} \\ \frac{\theta^4 z_2}{\theta^4 z_2 + \theta + z_1} & \frac{\theta}{\theta^4 z_2 + \theta + z_1} & \frac{z_1}{\theta^4 z_2 + \theta + z_1} \end{pmatrix}. \quad (3.3)$$

Ясно, что одно из собственных значений этой матрицы  $s_3 = 1$ . Найдем  $s_1$  и  $s_2$ :

$$\begin{aligned} \det(P - sE) &= 0 \Rightarrow \\ (s - 1)((z_1 + z_2)(\theta^4 z_1 + \theta + z_2)(\theta^4 z_2 + \theta + z_1)s^2 + \\ + (z_1 + z_2)((\theta^8 - 1)z_1 z_2 + \theta^5(z_1 + z_2) + \theta^2)s + 2\theta z_1 z_2(\theta^4 - 1)) &= 0. \end{aligned} \quad (3.4)$$

Сначала проверим условие не экстремальности мер  $\mu_1$ ,  $\mu_2$  соответствующих решениям  $(z_1, z_2)$ ,  $(z_2, z_1)$  соответственно. Для этого, разделив левую часть последнего уравнения на  $s - 1$ , получим квадратное уравнение

$$\begin{aligned} (z_1 + z_2)(\theta^4 z_1 + \theta + z_2)(\theta^4 z_2 + \theta + z_1)s^2 + \\ + (z_1 + z_2)((\theta^8 - 1)z_1 z_2 + \theta^5(z_1 + z_2) + \theta^2)s + 2\theta z_1 z_2(\theta^4 - 1) &= 0. \end{aligned}$$



**Рис. 2.** (а) графики функций  $z^*(\theta)$  (непрерывная кривая),  $z_1(\theta)$  (штрихованная кривая),  $z_2(\theta)$  (пунктирная кривая); (б) график функции  $D_2$

Решения этого квадратного уравнения имеют вид

$$s_{1,2} = \frac{-(z_1 + z_2)((\theta^8 - 1)z_1z_2 + \theta^5(z_1 + z_2) + \theta^2) \pm \sqrt{D_2}}{2(z_1 + z_2)(\theta^4z_1 + \theta + z_2)(\theta^4z_2 + \theta + z_1)},$$

где

$$D_2 = [(z_1 + z_2)((\theta^8 - 1)z_1z_2 + \theta^5(z_1 + z_2) + \theta^2)]^2 - 8\theta z_1z_2(\theta^4 - 1)(z_1 + z_2)(\theta^4z_1 + \theta + z_2)(\theta^4z_2 + \theta + z_1) > 0$$

при  $\theta > 0$  (см. рис. 2, b).

При  $0 < \theta < \theta_{cr}$  с помощью программы Maple можно увидеть, что

$$\max\{|s_1|, |s_2|\} = |s_1|$$

(см. рис. 3, a).

Отсюда следует, что  $|s_2| < |s_1| < s_3 = 1$ . Теперь проверим условие:  $ks_1^2 > 1$ . С помощью программы Maple можно увидеть, что последнее неравенство выполняется при  $\theta \in (0.3716768; \theta_{cr})$  (см. рис. 3, b).

Но неравенство  $|s_1| < 1$  верно при  $0 < \theta < 0.4782031$  (см. рис. 4, a). Следовательно, при  $0.3716768 < \theta < 0.4782031$  меры  $\mu_1, \mu_2$  не являются экстремальными.

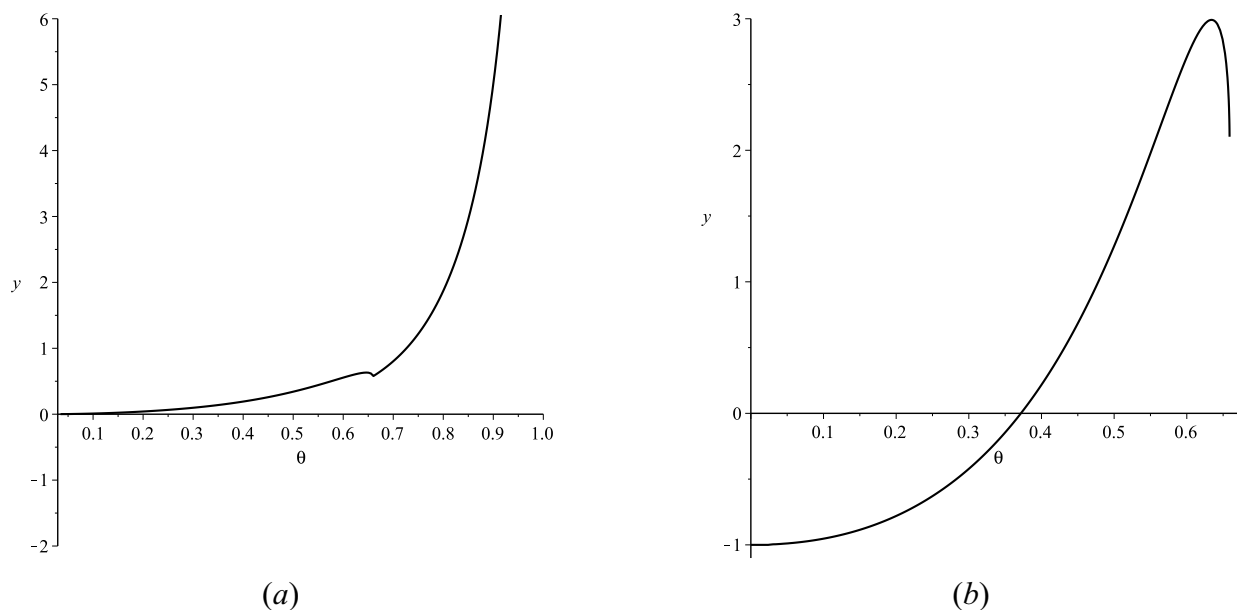
Таким образом, справедлива следующая теорема.

**Теорема 3.** Пусть  $k = 2$ . Тогда для НС-модели Блюма–Капеля в случае «обобщенный жезл» меры  $\mu_1, \mu_2$  при  $\theta \in (0.3716768; 0.4782031)$  не являются экстремальными.

Далее, при  $k = 2$  проверим условие не экстремальности единственной меры  $\mu_0$ , соответствующей единственному решению уравнения (2.2). В этом случае уравнение (3.4), после деления его на  $s - 1$ , превратится в квадратное уравнение

$$2z(\theta^4z + \theta + z)^2s^2 + 2z(\theta^4z + \theta - z)(\theta^4z + \theta + z)s + 2\theta(\theta^4 - 1)z^2 = 0,$$





**Рис. 3.** (а) график функции  $|s_1| - |s_2|$ ; (б) график функции  $2s_1^2 - 1$

т. е.

$$(\theta^4 z + \theta + z)^2 s^2 + (\theta^4 z + \theta - z)(\theta^4 z + \theta + z)s + \theta(\theta^4 - 1)z = 0,$$

дискриминант и решения которого имеют следующий вид:

$$D_3 = (\theta^4 z + \theta + z)^2 (\theta^4 z - \theta - z)^2, \quad s_1 = -\frac{(\theta^4 - 1)z}{\theta^4 z + \theta + z}, \quad s_2 = -\frac{\theta}{\theta^4 z + \theta + z},$$

где  $z$  — решение уравнения (3.1). Найдем  $\max\{|s_1|, |s_2|\}$ :

$$|s_1| - |s_2| = \frac{|\theta^4 - 1|z}{\theta^4 z + \theta + z} - \frac{\theta}{\theta^4 z + \theta + z} = \frac{|\theta^4 - 1|z - \theta}{\theta^4 z + \theta + z}.$$

С помощью программы Maple можно увидеть, что при  $\theta \in (0; 0.8191721) \cup (1.1192526; +\infty)$   $\max\{|s_1|, |s_2|\} = |s_1|$ , а при  $\theta \in (0.8191721; 1.1192526)$   $\max\{|s_1|, |s_2|\} = |s_2|$  (см. рис. 4, б).

Пусть  $\theta \in (0; 0.8191721) \cup (1.1192526; +\infty)$ . В этом случае проверим условие Кестена–Стигума не экстремальности меры  $\mu_0$ :  $2s_1^2 > 1$ . С помощью формулы Кардано решим уравнение (2.2). Оно имеет одно вещественное решение:

$$z = \frac{1}{12} \frac{\sqrt[3]{A + 24\sqrt{3}\sqrt{B}\theta^5 + C}}{\theta^2} + \frac{1}{12} \frac{E}{\theta^2 \sqrt[3]{A + 24\sqrt{3}\sqrt{B}\theta^5 + C}} + \frac{1}{12} \frac{F}{\theta^2}, \quad (3.5)$$

где

$$A = \theta^{24} + 6\theta^{20} + 15\theta^{16} + 36\theta^{15} + 20\theta^{12} + 108\theta^{11} + 15\theta^8,$$

$$B = \frac{\theta^{12} + 3\theta^8 + 3\theta^4 + 27\theta^3 + 1}{\theta},$$

$$C = 108\theta^7 + 216\theta^6 + 6\theta^4 + 36\theta^3 + 1,$$

$$E = \theta^{16} + 4\theta^{12} + 6\theta^8 + 24\theta^7 + 4\theta^4 + 24\theta^3 + 1,$$

$$F = \theta^8 + 2\theta^4 + 1.$$

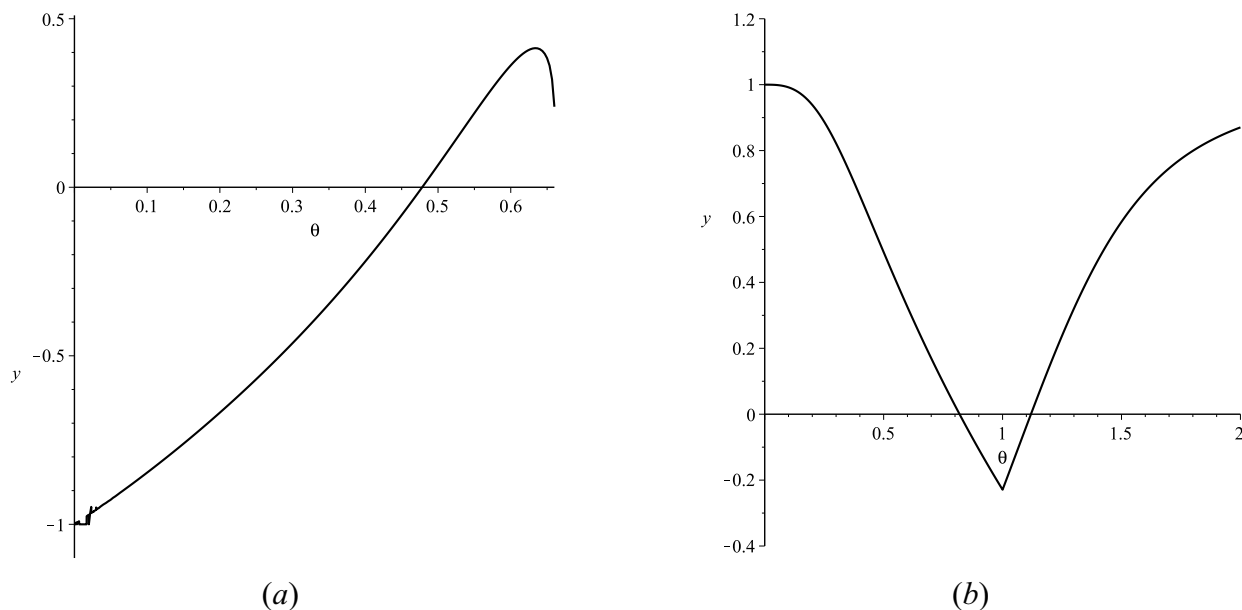


Рис. 4. (а) график функции  $|s_1| - 1$ ; (б) график функции  $|s_1| - |s_2|$

Чтобы определить интервал не экстремальности этой меры, проверим условие

$$2s_1^2 - 1 = 2 \cdot \left( \frac{(\theta^4 - 1)z}{\theta^4 z + \theta + z} \right)^2 - 1 > 0,$$

где  $z$  имеет вид (3.5). С помощью программы Maple можно увидеть, что последнее неравенство верно при  $\theta \in (0; 0.49329763) \cup (1.5955653; +\infty)$ , то есть при этом условии мера  $\mu_0$  не является экстремальной (см. рис. 5, а).

Пусть теперь  $0.8191721 < \theta < 1.1192526$ . В этом случае  $|s_1| < |s_2| < s_3 = 1$ . Тогда условие не экстремальности меры  $\mu_0$ :  $2s_2^2 > 1$ .

Чтобы определить интервал не экстремальности меры  $\mu_0$  в случае двойного неравенства  $0.8191721 < \theta < 1.1192526$ , проверим условие

$$2s_2^2 - 1 = 2 \left( \frac{\theta}{\theta^4 z + \theta + z} \right)^2 - 1 > 0,$$

где  $z$  имеет вид (3.5). С помощью программы Maple можно увидеть, что последнее неравенство не имеет решений, то есть при  $0.8191721 < \theta < 1.1192526$  мера  $\mu_0$  заведомо является экстремальной (см. рис. 5, б). Это мы проверим в наших дальнейших исследованиях.

Таким образом, верна следующая теорема.

**Теорема 4.** Пусть  $k = 2$ . Тогда для НС-модели Блума–Капеля в случае «обобщенный жезл» мера  $\mu_0$  при  $\theta \in (0; 0.49329763) \cup (1.5955653; +\infty)$  не является экстремальной.

#### § 4. Условия экстремальности мер $\mu_0, \mu_1, \mu_2$

Для исследования экстремальности известны методы из работы [38]. Проведем необходимые определения из работы [38]. Если удалить произвольное ребро  $\langle x^0, x^1 \rangle = l \in L$  из дерева Кэли  $\Gamma^k$ , то оно разбивается на две компоненты  $\Gamma_{x^0}^k$  и  $\Gamma_{x^1}^k$ , каждая из которых называется полубесконечным деревом или полудеревом Кэли.

Рассмотрим конечное полное поддереву  $\mathfrak{S}$ , которое содержит все начальные точки полудерева  $\Gamma_{x^0}^k$ . Граница  $\partial\mathfrak{S}$  поддереву  $\mathfrak{S}$  состоит из ближайших соседей его вершин, которые

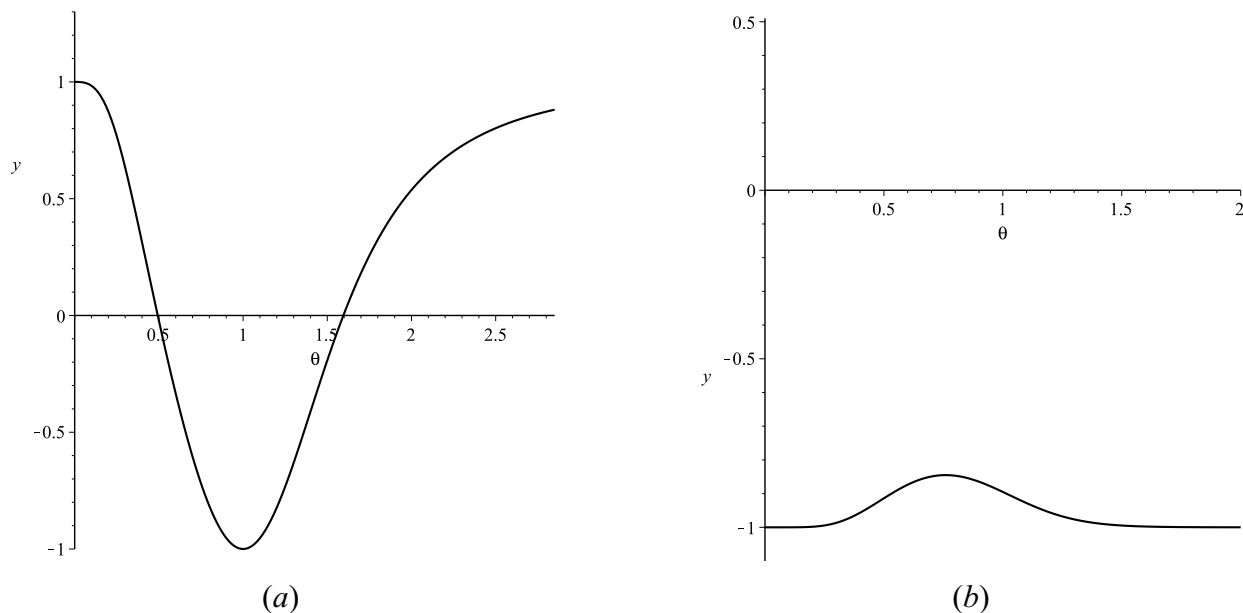


Рис. 5. (а) график функции  $2s_1^2 - 1$ ; (б) график функции  $2s_2^2 - 1$

лежат в  $\Gamma_{x_0}^k \setminus \mathfrak{S}$ . Мы отождествляем поддерево  $\mathfrak{S}$  с множеством его вершин. Через  $E(A)$  обозначим множество всех ребер  $A$  и  $\partial A$ .

В работе [38] введены две ключевые величины:  $\kappa$  и  $\gamma$ , которые играют важную роль для исследования экстремальности ТИМГ. Эти величины являются свойствами множества мер Гиббса  $\{\mu_{\mathfrak{S}}^{\tau}\}$ , где граничное условие  $\tau$  фиксировано, и  $\mathfrak{S}$  является произвольным начальным полным конечным поддеревом  $\Gamma_{x_0}^k$ . Для данного начального поддерева  $\Gamma_{x_0}^k$  и вершины  $x \in \mathfrak{S}$  мы будем писать  $\mathfrak{S}_x$  для (максимального) поддерева  $\mathfrak{S}$  с начальной точкой в  $x$ . Когда  $x$  не является начальной точкой  $\mathfrak{S}$ , через  $\{\mu_{\mathfrak{S}}^s\}$  обозначим меру Гиббса, в которой «предок»  $x$  имеет спин  $s$  и конфигурация на нижней границе  $\mathfrak{S}_x$  (то есть на  $\partial\mathfrak{S} \setminus \{\text{«предок» } x\}$ ) задается через  $\Gamma$ .

Для двух мер на  $\Omega$  через  $\mu_1$  и  $\mu_2$  обозначим расстояние по норме

$$\|\mu_1 - \mu_2\|_x = \frac{1}{2} \sum_{i \in \{-1, 0, +1\}} |\mu_1(\sigma(x) = i) - \mu_2(\sigma(x) = i)|.$$

Пусть  $\eta^{x,s}$  есть конфигурация  $\eta$  со спином в  $x$  установленная в  $s$ .

Следуя [38], определим

$$\begin{aligned} \kappa &\equiv \kappa(\mu) = \sup_{x \in \Gamma^k} \max_{x, s, s'} \|\mu_{\mathfrak{S}_x}^s - \mu_{\mathfrak{S}_x}^{s'}\|_x, \\ \gamma &\equiv \gamma(\mu) = \sup_{A \subset \Gamma^k} \max_{y, s, s'} \|\mu_A^{\eta^{y,s}} - \mu_A^{\eta^{y,s'}}\|_x, \end{aligned}$$

где максимум берется по всем граничным условиям  $\eta$ , всем  $y \in \partial A$ , всем соседям  $x \in A$  вершины  $y$  и всем спином  $s, s' \in \{-1, 0, 1\}$ .

Сначала найдем условие экстремальности меры  $\mu_0$ .

Заметим, что  $\kappa$  имеет особенно простую формулу

$$\kappa = \frac{1}{2} \max \sum_{l \in \{-1, 0, 1\}} |P_{il} - P_{jl}|.$$

Отсюда ясно, что  $|P_{il} - P_{jl}| = 0$  при  $i = j$ . Используя [38], при  $i \neq j$  вычислим

$$\sum_{l \in \{-1, 0, 1\}} |P_{il} - P_{jl}|.$$

Если  $i = -1, j = 0$ , то

$$\sum_{l \in \{-1, 0, 1\}} |P_{-1l} - P_{0l}| = \frac{|(\theta^4 - 1)z + \theta| + |(\theta^4 - 1)z - \theta| + 2\theta}{2(z + \theta + \theta^4 z)}.$$

Получаем следующие случаи:

(1) если  $\theta \in (0; 0.8191725]$ , то  $(\theta^4 - 1)z + \theta \leq 0$  и  $(\theta^4 - 1)z - \theta < 0$  (см. рис. 6, а, b); тогда

$$\sum_{l \in \{-1, 0, 1\}} |P_{-1l} - P_{0l}| = \frac{(1 - \theta^4)z + \theta}{z + \theta + \theta^4 z};$$

(2) если  $\theta \in (0.8191725; 1.1192527]$ , то  $(\theta^4 - 1)z + \theta > 0$  и  $(\theta^4 - 1)z - \theta \leq 0$  (см. рис. 6, а, b); тогда

$$\sum_{l \in \{-1, 0, 1\}} |P_{-1l} - P_{0l}| = \frac{2\theta}{z + \theta + \theta^4 z};$$

(3) если  $\theta \in (1.1192527; +\infty)$ , то  $(\theta^4 - 1)z + \theta > 0$  и  $(\theta^4 - 1)z - \theta > 0$  (см. рис. 6, а, b); тогда

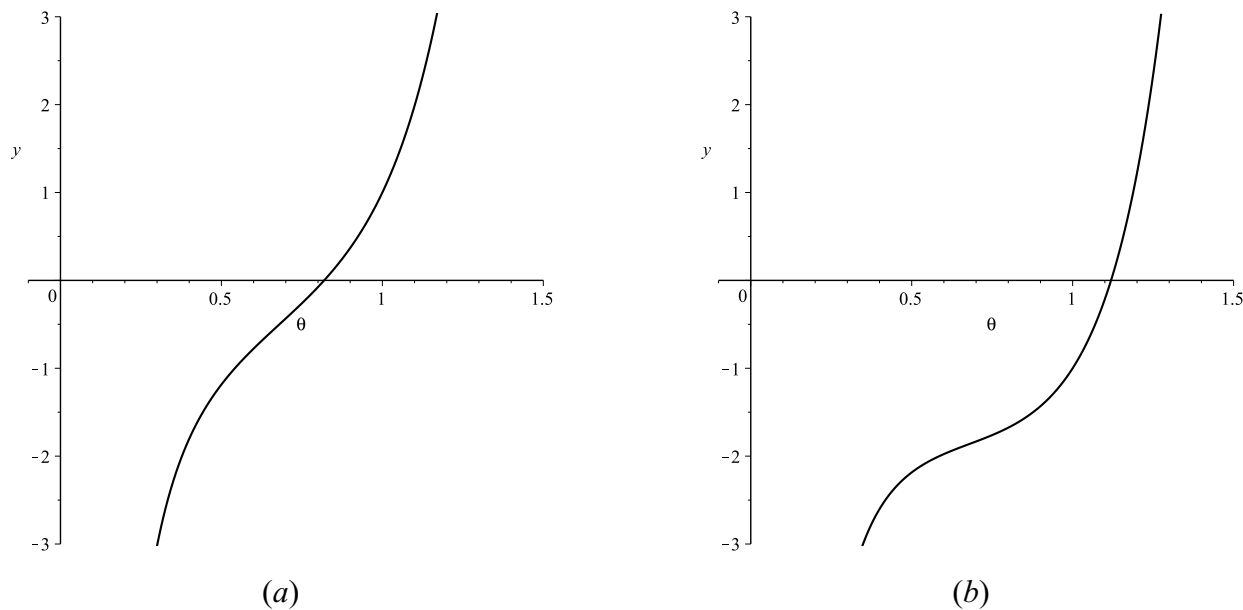
$$\sum_{l \in \{-1, 0, 1\}} |P_{-1l} - P_{0l}| = \frac{(\theta^4 - 1)z + \theta}{z + \theta + \theta^4 z}.$$

Если  $i = -1, j = 1$ , то

$$\sum_{l \in \{-1, 0, 1\}} |P_{-1l} - P_{1l}| = \frac{2|\theta^4 - 1|z}{z + \theta + \theta^4 z} = \begin{cases} \frac{2(1 - \theta^4)z}{z + \theta + \theta^4 z}, & 0 < \theta \leq 1, \\ \frac{2(\theta^4 - 1)z}{z + \theta + \theta^4 z}, & \theta > 1. \end{cases}$$

Если  $i = 0, j = 1$ , то как в случае  $i = -1, j = 0$

$$\begin{aligned} \sum_{l \in \{-1, 0, 1\}} |P_{0l} - P_{1l}| &= \frac{|(\theta^4 - 1)z + \theta| + |(\theta^4 - 1)z - \theta| + 2\theta}{2(z + \theta + \theta^4 z)} = \\ &= \begin{cases} \frac{(1 - \theta^4)z + \theta}{z + \theta + \theta^4 z}, & 0 < \theta \leq 0.8191725, \\ \frac{2\theta}{z + \theta + \theta^4 z}, & 0.8191725 < \theta \leq 1.1192527, \\ \frac{(\theta^4 - 1)z + \theta}{z + \theta + \theta^4 z}, & \theta > 1.1192527. \end{cases} \end{aligned}$$



**Рис. 6.** (а) график функции  $(\theta^4 - 1)z + \theta$ ; (б) график функции  $(\theta^4 - 1)z - \theta$

Таким образом,

$$\sum_{l \in \{-1, 0, +1\}} |P_{il} - P_{jl}| = \begin{cases} \frac{(1 - \theta^4)z + \theta}{z + \theta + \theta^4 z}, & 0 < \theta \leq 0.8191725, \quad i, j = -1, 0 \text{ или } i, j = 0, 1, \\ \frac{2\theta}{z + \theta + \theta^4 z}, & 0.8191725 < \theta \leq 1.1192527, \quad i, j = -1, 0 \text{ или } i, j = 0, 1, \\ \frac{2(1 - \theta^4)z}{z + \theta + \theta^4 z}, & 0 < \theta \leq 1, \quad i, j = -1, 1, \\ \frac{2(\theta^4 - 1)z}{z + \theta + \theta^4 z}, & \theta > 1, \quad i, j = -1, 1, \\ \frac{(\theta^4 - 1)z + \theta}{z + \theta + \theta^4 z}, & \theta > 1.1192527, \quad i, j = -1, 0 \text{ или } i, j = 0, 1. \end{cases}$$

Найдем  $\kappa$ .

(1) При  $0 < \theta \leq 0.8191725$

$$\frac{(1 - \theta^4)z + \theta}{z + \theta + \theta^4 z} - \frac{2(1 - \theta^4)z}{z + \theta + \theta^4 z} = \frac{(\theta^4 - 1)z + \theta}{z + \theta + \theta^4 z} \leq 0.$$

Тогда

$$\kappa = \frac{(1 - \theta^4)z}{z + \theta + \theta^4 z}.$$

(2) При  $0.8191725 < \theta \leq 1$

$$\frac{2\theta}{z + \theta + \theta^4 z} - \frac{2(1 - \theta^4)z}{z + \theta + \theta^4 z} = \frac{2((\theta^4 - 1)z + \theta)}{z + \theta + \theta^4 z} \geq 0.$$

Тогда

$$\kappa = \frac{\theta}{z + \theta + \theta^4 z}.$$

(3) При  $1 < \theta \leq 1.1192527$

$$\frac{2\theta}{z + \theta + \theta^4 z} - \frac{2(\theta^4 - 1)z}{z + \theta + \theta^4 z} = -\frac{2((\theta^4 - 1)z - \theta)}{z + \theta + \theta^4 z} \geq 0.$$

Тогда

$$\kappa = \frac{\theta}{z + \theta + \theta^4 z}.$$

(4) При  $\theta > 1.1192527$

$$\frac{2(\theta^4 - 1)z}{z + \theta + \theta^4 z} - \frac{(\theta^4 - 1)z + \theta}{z + \theta + \theta^4 z} = \frac{(\theta^4 - 1)z - \theta}{z + \theta + \theta^4 z} > 0.$$

Тогда

$$\kappa = \frac{(\theta^4 - 1)z}{z + \theta + \theta^4 z}.$$

Откуда получим, что

(1) при  $0 < \theta \leq 0.8191725$

$$\kappa = \frac{(1 - \theta^4)z}{z + \theta + \theta^4 z};$$

(2) при  $0.8191725 < \theta \leq 1.1192527$

$$\kappa = \frac{\theta}{z + \theta + \theta^4 z};$$

(3) при  $\theta > 1.1192527$

$$\kappa = \frac{(\theta^4 - 1)z}{z + \theta + \theta^4 z}.$$

Теперь оценку для  $\gamma$ , подобно работе [38, с. 15], будем искать в следующем виде:

$$\gamma = \max\{\|\mu_A^{\eta^{y,1}} - \mu_A^{\eta^{y,0}}\|_x, \|\mu_A^{\eta^{y,1}} - \mu_A^{\eta^{y,-1}}\|_x, \|\mu_A^{\eta^{y,0}} - \mu_A^{\eta^{y,-1}}\|_x\},$$

где

$$\begin{aligned} \|\mu_A^{\eta^{y,1}} - \mu_A^{\eta^{y,0}}\|_x &= \frac{1}{2} \sum_{s \in \{-1,0,+1\}} |\mu_A^{\eta^{y,1}}(\sigma(x) = s) - \mu_A^{\eta^{y,0}}(\sigma(x) = s)| = \\ &= \frac{1}{2} (|P_{1,-1} - P_{0,-1}| + |P_{1,0} - P_{0,0}| + |P_{1,1} - P_{0,1}|) = \\ &= \frac{1}{2} \frac{|(\theta^4 - 1)z + \theta| + |(\theta^4 - 1)z - \theta| + 2\theta}{2(z + \theta + \theta^4 z)} = \\ &= \begin{cases} \frac{1}{2} \frac{(1 - \theta^4)z + \theta}{z + \theta + \theta^4 z}, & 0 < \theta \leq 0.8191725, \\ \frac{\theta}{z + \theta + \theta^4 z}, & 0.8191725 < \theta \leq 1.1192527, \\ \frac{1}{2} \frac{(\theta^4 - 1)z + \theta}{z + \theta + \theta^4 z}, & \theta > 1.1192527; \end{cases} \end{aligned}$$

$$\| \mu_A^{\eta^{y,1}} - \mu_A^{\eta^{y,-1}} \|_x = \frac{1}{2} \sum_{l \in \{-1,0,1\}} |P_{1,l} - P_{-1,l}| = \begin{cases} \frac{(1-\theta^4)z}{z+\theta+\theta^4z}, & 0 < \theta \leq 1, \\ \frac{(\theta^4-1)z}{z+\theta+\theta^4z}, & \theta > 1; \end{cases}$$

$$\begin{aligned} \| \mu_A^{\eta^{y,0}} - \mu_A^{\eta^{y,-1}} \|_x &= \frac{1}{2} \sum_{l \in \{-1,0,+1\}} |P_{0,l} - P_{-1,l}| = \\ &= \frac{1}{2} \frac{|(\theta^4-1)z+\theta| + |(\theta^4-1)z-\theta| + 2\theta}{2(z+\theta+\theta^4z)} = \\ &= \begin{cases} \frac{1}{2} \frac{(1-\theta^4)z+\theta}{z+\theta+\theta^4z}, & 0 < \theta \leq 0.8191725, \\ \frac{\theta}{z+\theta+\theta^4z}, & 0.8191725 < \theta \leq 1.1192527, \\ \frac{1}{2} \frac{(\theta^4-1)z+\theta}{z+\theta+\theta^4z}, & \theta > 1.1192527. \end{cases} \end{aligned}$$

Следовательно,

(1) при  $0 < \theta \leq 0.8191725$  получим

$$\gamma = \max \left\{ \frac{1}{2} \frac{(1-\theta^4)z+\theta}{z+\theta+\theta^4z}, \frac{(1-\theta^4)z}{z+\theta+\theta^4z} \right\} = \frac{(1-\theta^4)z}{z+\theta+\theta^4z};$$

(2) при  $0.8191725 < \theta \leq 1$  получим

$$\gamma = \max \left\{ \frac{\theta}{z+\theta+\theta^4z}, \frac{(1-\theta^4)z}{z+\theta+\theta^4z} \right\} = \frac{\theta}{z+\theta+\theta^4z};$$

(3) при  $1 < \theta \leq 1.1192527$  получим

$$\gamma = \max \left\{ \frac{\theta}{z+\theta+\theta^4z}, \frac{(\theta^4-1)z}{z+\theta+\theta^4z} \right\} = \frac{\theta}{z+\theta+\theta^4z};$$

(4) при  $\theta > 1.1192527$  получим

$$\gamma = \max \left\{ \frac{(\theta^4-1)z}{z+\theta+\theta^4z}, \frac{1}{2} \frac{(\theta^4-1)z+\theta}{z+\theta+\theta^4z} \right\} = \frac{(\theta^4-1)z}{z+\theta+\theta^4z}.$$

Таким образом, получим, что

(1) при  $0 < \theta \leq 0.8191725$

$$\gamma = \frac{(1-\theta^4)z}{z+\theta+\theta^4z};$$

(2) при  $0.8191725 < \theta \leq 1.1192527$

$$\gamma = \frac{\theta}{z+\theta+\theta^4z};$$

(3) при  $\theta > 1.1192527$

$$\gamma = \frac{(\theta^4 - 1)z}{z + \theta + \theta^4 z}.$$

Теперь для меры  $\mu_0$  проверим условие экстремальности:  $2\kappa\gamma < 1$ .

(1) При  $0 < \theta \leq 0.8191725$  это условие имеет вид

$$2\kappa\gamma - 1 = 2 \cdot \left( \frac{(1 - \theta^4)z}{z + \theta + \theta^4 z} \right)^2 - 1 < 0.$$

Это неравенство верно при  $0.4932976 < \theta < 1.5955653$  (см. рис. 5, а). Тогда

$$0.4932976 < \theta \leq 0.8191725.$$

(2) При  $0.8191725 < \theta \leq 1.1192527$  это условие имеет вид

$$2\kappa\gamma - 1 = 2 \cdot \left( \frac{\theta}{z + \theta + \theta^4 z} \right)^2 - 1 < 0.$$

Это неравенство верно при  $\theta > 0$  (см. рис. 5, б). Тогда

$$\theta \in (0.8191725; 1.1192527].$$

(3) При  $\theta > 1.1192527$  это условие имеет вид

$$2\kappa\gamma - 1 = 2 \cdot \left( \frac{(\theta^4 - 1)z}{z + \theta + \theta^4 z} \right)^2 - 1 < 0.$$

Это неравенство верно при  $0.4932976 < \theta < 1.5955653$  (см. рис. 5, а). Тогда

$$1.1192527 < \theta < 1.5955653.$$

Итак, верна следующая теорема.

**Теорема 5.** Пусть  $k = 2$ . Тогда для НС-модели Блюма–Капеля в случае «обобщенный жезл» мера  $\mu_0$  при  $0.4932976 < \theta < 1.5955653$  является экстремальной.

Аналогичным методом для экстремальности мер  $\mu_1, \mu_2$  можно получить следующую теорему.

**Теорема 6.** Пусть  $k = 2$ . Тогда для НС-модели Блюма–Капеля в случае «обобщенный жезл» меры  $\mu_1, \mu_2$  при  $0.5526914 < \theta < \theta_{cr} \approx 0.6589252$  являются экстремальными.

**Замечание 1.** Для мер  $\mu_1, \mu_2$  при  $\theta \in (0; 0.3716768) \cup (0.4782031; 0.5526914)$  задача (не)экстремальности пока остается открытой.

**Благодарность.**

Автор благодарит профессора У. А. Розикова за полезные советы.



## СПИСОК ЛИТЕРАТУРЫ

1. Георги Х.-О. Гиббсовские меры и фазовые переходы. М.: Мир, 1992.
2. Preston C. J. Gibbs states on countable sets. Cambridge: Cambridge University Press, 1974.  
<https://doi.org/10.1017/CBO9780511897122>
3. Синай Я. Г. Теория фазовых переходов. Строгие результаты. М.: Наука, 1980.
4. Rozikov U. A. Gibbs measures on Cayley trees. World Scientific, 2013. <https://doi.org/10.1142/8841>
5. Mukhamedov F., Akin H., Khakimov O. Gibbs measures and free energies of Ising–Vannimenus model on the Cayley tree // Journal of Statistical Mechanics: Theory and Experiment. 2017. Vol. 2017. Issue 5. 053208. <https://doi.org/10.1088/1742-5468/aa6c88>
6. Akin H., Mukhamedov F. Phase transition for the Ising model with mixed spins on a Cayley tree // Journal of Statistical Mechanics: Theory and Experiment. 2022. Vol. 2022. Issue 5. 053204.  
<https://doi.org/10.1088/1742-5468/ac68e4>
7. Хатамов Н. М. Неединственность меры Гиббса для шаровой модели Изинга // Теоретическая и математическая физика. 2014. Т. 180. № 3. С. 318–328. <https://doi.org/10.4213/tmf8685>
8. Rahmatullaev M. M., Rasulova M. A. Extremality of translation-invariant Gibbs measures for the Potts–SOS model on the Cayley tree // Journal of Statistical Mechanics: Theory and Experiment. 2021. Vol. 2021. Issue 7. 073201. <https://doi.org/10.1088/1742-5468/ac08ff>
9. Мухамедов Ф. М., Рахматуллаев М. М., Расулова М. А. Крайность трансляционно-инвариантных мер Гиббса для  $\lambda$ -модели на бинарном дереве Кэли // Теоретическая и математическая физика. 2022. Т. 210. № 3. С. 470–484. <https://doi.org/10.4213/tmf10206>
10. Mukhamedov F. Extremality of disordered phase of  $\lambda$ -model on Cayley trees // Algorithms. 2022. Vol. 15. Issue 1. Article number: 18. <https://doi.org/10.3390/a15010018>
11. Хатамов Н. М. Экстремальность мер Гиббса для модели НС-Блюма–Капелья на дереве Кэли // Математические заметки. 2022. Т. 111. Вып. 5. С. 762–777. <https://doi.org/10.4213/mzm13217>
12. Khrennikov A., Mukhamedov F. On uniqueness of Gibbs measure for  $p$ -adic countable state Potts model on the Cayley tree // Nonlinear Analysis: Theory, Methods and Applications. 2009. Vol. 71. Issue 11. P. 5327–5331. <https://doi.org/10.1016/j.na.2009.04.021>
13. Мухамедов Ф., Акин Х. О  $p$ -адической модели Поттса на дереве Кэли порядка три // Теоретическая и математическая физика. 2013. Т. 176. № 3. С. 513–528. <https://doi.org/10.4213/tmf8522>
14. Mukhamedov F., Khakimov O. Translation-invariant generalized  $p$ -adic Gibbs measures for the Ising model on Cayley trees // Mathematical Methods in the Applied Sciences. 2021. Vol. 44. Issue 16. P. 12302–12316. <https://doi.org/10.1002/mma.7088>
15. Mukhamedov F., Pah Ch. H., Jamil H., Rahmatullaev M. On ground states and phase transition for  $\lambda$ -model with the competing Potts interactions on Cayley trees // Physica A: Statistical Mechanics and its Applications. 2020. Vol. 549. 124184. <https://doi.org/10.1016/j.physa.2020.124184>
16. Mukhamedov F. M., Rakhmatullaev M. M., Rasulova M. A. Weakly periodic ground states for the  $\lambda$ -model // Ukrainian Mathematical Journal. 2020. Vol. 72. Issue 5. P. 771–784.  
<https://doi.org/10.1007/s11253-020-01826-6>
17. Хатамов Н. М. Новые классы основных состояний для модели Поттса с рассеянными конкурирующими взаимодействиями на дереве Кэли // Теоретическая и математическая физика. 2014. Т. 180. № 1. С. 86–93. <https://doi.org/10.4213/tmf8637>
18. Mazel A. E., Suhov Yu. M. Random surfaces with two-sided constraints: An application of the theory of dominant ground states // Journal of Statistical Physics. 1991. Vol. 64. Nos. 1–2. P. 111–134.  
<https://doi.org/10.1007/BF01057870>
19. Suhov Yu. M., Rozikov U. A. A hard-core model on a Cayley tree: An example of a loss network // Queueing Systems. 2004. Vol. 46. Nos. 1–2. P. 197–212.  
<https://doi.org/10.1023/B:QUES.0000021149.43343.05>
20. Martin J. B. Reconstruction thresholds on regular trees // Discrete Mathematics and Theoretical Computer Science. 2003. P. 191–204. <https://doi.org/10.46298/dmtcs.3325>
21. Хакимов Р. М. Единственность слабо периодической гиббсовской меры для НС-модели // Математические заметки. 2013. Т. 94. Вып. 5. С. 796–800. <https://doi.org/10.4213/mzm9687>

22. Khakimov R. M. Weakly periodic Gibbs measures in the HC-model for a normal divisor of index four // *Ukrainian Mathematical Journal*. 2015. Vol. 67. Issue 10. P. 1584–1598.  
<https://doi.org/10.1007/s11253-016-1174-9>
23. Хакимов Р. М. Слабо периодические меры Гиббса для HC-моделей на дереве Кэли // *Сибирский математический журнал*. 2018. Т. 59. № 1. С. 185–196. <https://doi.org/10.17377/smzh.2018.59.116>
24. Brightwell G. R., Winkler P. Graph homomorphisms and phase transitions // *Journal of Combinatorial Theory, Series B*. 1999. Vol. 77. Issue 2. P. 221–262. <https://doi.org/10.1006/jctb.1999.1899>
25. Martin J. B., Rozikov U. A., Suhov Yu. M. A three state hard-core model on a Cayley tree // *Journal of Nonlinear Mathematical Physics*. 2005. Vol. 12. Issue 3. P. 432–448.  
<https://doi.org/10.2991/jnmp.2005.12.3.7>
26. Розиков У. А., Шоюсупов Ш. А. Плодородные HC-модели с тремя состояниями на дереве Кэли // *Теоретическая и математическая физика*. 2008. Т. 156. № 3. С. 412–424.  
<https://doi.org/10.4213/tmf6256>
27. Хакимов Р. М. Трансляционно-инвариантные меры Гиббса для плодородных моделей “hard core” с тремя состояниями на дереве Кэли // *Теоретическая и математическая физика*. 2015. Т. 183. № 3. С. 441–449. <https://doi.org/10.4213/tmf8700>
28. Rozikov U. A., Khakimov R. M. Gibbs measures for the fertile three-state hard-core models on a Cayley tree // *Queueing Systems*. 2015. Vol. 81. Issue 1. P. 49–69.  
<https://doi.org/10.1007/s11134-015-9450-1>
29. Cirillo E. N. M., Olivieri E. Metastability and nucleation for the Blume–Capel model. Different mechanisms of transition // *Journal of Statistical Physics*. 1996. Vol. 83. Issues 3–4. P. 473–554.  
<https://doi.org/10.1007/BF02183739>
30. Theodorakis P. E., Fytas N. G. Monte Carlo study of the triangular Blume–Capel model under bond randomness // *Physical Review E*. 2012. Vol. 86. Issue 1. 011140.  
<https://doi.org/10.1103/PHYSREVE.86.011140>
31. Kim S. Metastability of Blume–Capel model with zero chemical potential and zero external field // *Journal of Statistical Physics*. 2021. Vol. 184. Issue 3. Article number: 33.  
<https://doi.org/10.1007/s10955-021-02823-0>
32. Khatamov N. M., Khakimov R. M. Translation-invariant Gibbs measures for the Blume–Capel model on a Cayley tree // *Journal of Mathematical Physics, Analysis, Geometry*. 2019. Vol. 15. No. 2. P. 239–255. <https://doi.org/10.15407/mag15.02.239>
33. Khatamov N. M. Translation-invariant extreme Gibbs measures for the Blume–Capel model with wand on a Cayley tree // *Ukrainian Mathematical Journal*. 2020. Vol. 72. No. 4. P. 623–641.  
<https://doi.org/10.1007/s11253-020-01804-y>
34. Хатамов Н. М. Структуры Холлидея в модели Блюма–Капеля молекулы ДНК // *Теоретическая и математическая физика*. 2021. Т. 206. № 3. С. 439–447. <https://doi.org/10.4213/tmf9865>
35. Khatamov N. M. Holliday junctions in the HC Blume–Capel model in “one case” on DNA // *Nanosystems: physics, chemistry, mathematics*. 2021. Vol. 12. No. 5. P. 563–568.  
<https://doi.org/10.17586/2220-8054-2021-12-5-563-568>
36. Прасолов В. В. Многочлены. М.: МЦНМО, 2001.
37. Kesten H., Stigum B. P. Additional limit theorems for indecomposable multidimensional Galton–Watson processes // *The Annals of Mathematical Statistics*. 1966. Vol. 37. Issue 6. P. 1463–1481.  
<https://doi.org/10.1214/AOMS/1177699139>
38. Martinelli F., Sinclair A., Weitz D. Fast mixing for independent sets, colorings, and other models on trees // *Random Structures and Algorithms*. 2007. Vol. 31. Issue 2. P. 134–172.  
<https://doi.org/10.1002/rsa.20132>
39. Külske C., Rozikov U. A. Fuzzy transformations and extremality of Gibbs measures for the Potts model on a Cayley tree // *Random Structures and Algorithms*. 2017. Vol. 50. Issue 4. P. 636–678.  
<https://doi.org/10.1002/rsa.20671>

Поступила в редакцию 19.04.2022

Принята к публикации 28.05.2022

Хатамов Носир Муйдинович, к. ф.-м. н., кафедра математического анализа, Наманганский государственный университет, 160119, Узбекистан, г. Наманган, ул. Уйчинская, 316;  
докторант, Институт математики им. В.И. Романовского Академии наук Республики Узбекистан, 100174, Узбекистан, Ташкент, ул. Университетская, 9.  
ORCID: <https://orcid.org/0000-0002-2902-7982>  
E-mail: [nxatamov@mail.ru](mailto:nxatamov@mail.ru)

**Цитирование:** Н. М. Хатамов. Экстремальность некоторых мер Гиббса для *НС*-модели Блюма–Капеля на дереве Кэли // Вестник Удмуртского университета. Математика. Механика. Компьютерные науки. 2022. Т. 32. Вып. 2. С. 256–277.

**N. M. Khatamov**

**Extremality of some Gibbs measures for the Blume–Capel HC-model on a Cayley tree**

*Keywords:* Cayley tree, configuration, Blume–Capel HC-model, Gibbs measure, translation-invariant measures, extreme measure.

MSC2020: 82B05, 82B20, 60K35

DOI: [10.35634/vm220207](https://doi.org/10.35634/vm220207)

In this paper, we consider translation-invariant Gibbs measures (TIGM) for the Blume–Capel HC-model in the case of a “generalized wand” on a second-order Cayley tree. An approximate critical value of  $\theta_{cr}$  is found such that for  $\theta \geq \theta_{cr}$  there is only one TIGM, and for  $0 < \theta < \theta_{cr}$  there are exactly three TIGMs in the case of “generalized wand” for the model under consideration. In addition, the (non)extreme problem for these measures is studied.

REFERENCES

1. Georgii H.-O. *Gibbs measures and phase transitions*, Berlin: De Gruyter, 2011. <https://doi.org/10.1515/9783110250329>
2. Preston C. J. *Gibbs states on countable sets*, Cambridge: Cambridge University Press, 1974. <https://doi.org/10.1017/CBO9780511897122>
3. Sinai Ya. G. *Theory of phase transitions. Rigorous results*, Oxford: Pergamon, 1982. <https://doi.org/10.1016/C2013-0-03460-3>
4. Rozikov U. A. *Gibbs measures on Cayley trees*, World Scientific, 2013. <https://doi.org/10.1142/8841>
5. Mukhamedov F., Akin H., Khakimov O. Gibbs measures and free energies of Ising–Vannimenus model on the Cayley tree, *Journal of Statistical Mechanics: Theory and Experiment*, 2017, vol. 2017, issue 5, 053208. <https://doi.org/10.1088/1742-5468/aa6c88>
6. Akin H., Mukhamedov F. Phase transition for the Ising model with mixed spins on a Cayley tree, *Journal of Statistical Mechanics: Theory and Experiment*, 2022, vol. 2022, issue 5, 053204. <https://doi.org/10.1088/1742-5468/ac68e4>
7. Khatamov N. M. Nonuniqueness of a Gibbs measure for the Ising ball model, *Theoretical and Mathematical Physics*, 2014, vol. 180, no. 3, pp. 1030–1039. <https://doi.org/10.1007/s11232-014-0197-3>
8. Rahmatullaev M. M., Rasulova M. A. Extremality of translation-invariant Gibbs measures for the Potts–SOS model on the Cayley tree, *Journal of Statistical Mechanics: Theory and Experiment*, 2021, vol. 2021, issue 7, 073201. <https://doi.org/10.1088/1742-5468/ac08ff>
9. Mukhamedov F. M., Rahmatullaev M. M., Rasulova M. A. Extremality of translation-invariant Gibbs measures for the  $\lambda$ -model on the binary Cayley tree, *Theoretical and Mathematical Physics*, 2022, vol. 210, no. 3, pp. 411–424. <https://doi.org/10.1134/S0040577922030114>
10. Mukhamedov F. Extremality of disordered phase of  $\lambda$ -model on Cayley trees, *Algorithms*, 2022, vol. 15, issue 1, article number: 18. <https://doi.org/10.3390/a15010018>
11. Khatamov N. M. Extremity of the Gibbs measures for the HC-Blume–Capel model on the Cayley tree, *Mathematical Notes*, 2022, vol. 111, no. 5, pp. 768–781. <https://doi.org/10.1134/S000143462205011X>
12. Khrennikov A., Mukhamedov F. On uniqueness of Gibbs measure for  $p$ -adic countable state Potts model on the Cayley tree, *Nonlinear Analysis: Theory, Methods and Applications*, 2009, vol. 71, issue 11, pp. 5327–5331. <https://doi.org/10.1016/j.na.2009.04.021>
13. Mukhamedov F., Akin H. The  $p$ -adic Potts model on the Cayley tree of order three, *Theoretical and Mathematical Physics*, 2013, vol. 176, issue 3, pp. 1267–1279. <https://doi.org/10.1007/s11232-013-0105-2>
14. Mukhamedov F., Khakimov O. Translation-invariant generalized  $p$ -adic Gibbs measures for the Ising model on Cayley trees, *Mathematical Methods in the Applied Sciences*, 2021, vol. 44, issue 16, pp. 12302–12316. <https://doi.org/10.1002/mma.7088>

15. Mukhamedov F., Pah Ch. H., Jamil H., Rahmatullaev M. On ground states and phase transition for  $\lambda$ -model with the competing Potts interactions on Cayley trees, *Physica A: Statistical Mechanics and its Applications*, 2020, vol. 549, 124184. <https://doi.org/10.1016/j.physa.2020.124184>
16. Mukhamedov F. M., Rakhmatullaev M. M., Rasulova M. A. Weakly periodic ground states for the  $\lambda$ -model, *Ukrainian Mathematical Journal*, 2020, vol. 72, issue 5, pp. 771–784. <https://doi.org/10.1007/s11253-020-01826-6>
17. Khatamov N. M. New classes of ground states for the Potts model with random competing interactions on a Cayley tree, *Theoretical and Mathematical Physics*, 2014, vol. 180, no. 1, pp. 827–834. <https://doi.org/10.1007/s11232-014-0182-x>
18. Mazel A. E., Suhov Yu. M. Random surfaces with two-sided constraints: An application of the theory of dominant ground states, *Journal of Statistical Physics*, 1991, vol. 64, nos. 1–2, pp. 111–134. <https://doi.org/10.1007/BF01057870>
19. Suhov Yu. M., Rozikov U. A. A hard-core model on a Cayley tree: An example of a loss network, *Queueing Systems*, 2004, vol. 46, nos. 1–2, pp. 197–212. <https://doi.org/10.1023/B:QUES.0000021149.43343.05>
20. Martin J. B. Reconstruction thresholds on regular trees, *Discrete Mathematics and Theoretical Computer Science*, 2003, pp. 191–204. <https://doi.org/10.46298/dmtcs.3325>
21. Khakimov R. M. Uniqueness of weakly periodic Gibbs measure for HC-models, *Mathematical Notes*, 2013, vol. 94, no. 5, pp. 834–838. <https://doi.org/10.1134/S0001434613110199>
22. Khakimov R. M. Weakly periodic Gibbs measures in the HC-model for a normal divisor of index four, *Ukrainian Mathematical Journal*, 2015, vol. 67, issue 10, pp. 1584–1598. <https://doi.org/10.1007/s11253-016-1174-9>
23. Khakimov R. M. Weakly periodic Gibbs measures for HC-models on Cayley trees, *Siberian Mathematical Journal*, 2018, vol. 59, no. 1, pp. 147–156. <https://doi.org/10.1134/S0037446618010160>
24. Brightwell G. R., Winkler P. Graph homomorphisms and phase transitions, *Journal of Combinatorial Theory, Series B*, 1999, vol. 77, issue 2, pp. 221–262. <https://doi.org/10.1006/jctb.1999.1899>
25. Martin J. B., Rozikov U. A., Suhov Yu. M. A three state hard-core model on a Cayley tree, *Journal of Nonlinear Mathematical Physics*, 2005, vol. 12, issue 3, pp. 432–448. <https://doi.org/10.2991/jnmp.2005.12.3.7>
26. Rozikov U. A., Soyusupov Sh. A. Fertile HC-models with three states on a Cayley tree, *Theoretical and Mathematical Physics*, 2008, vol. 156, no. 3, pp. 1319–1330. <https://doi.org/10.1007/s11232-008-0109-5>
27. Khakimov R. M. Translation-invariant Gibbs measures for fertile three-state “hard core” models on a Cayley tree, *Theoretical and Mathematical Physics*, 2015, vol. 183, no. 3, pp. 829–835. <https://doi.org/10.1007/s11232-015-0299-6>
28. Rozikov U. A., Khakimov R. M. Gibbs measures for the fertile three-state hard-core models on a Cayley tree, *Queueing Systems*, 2015, vol. 81, issue 1, pp. 49–69. <https://doi.org/10.1007/s11134-015-9450-1>
29. Cirillo E. N. M., Olivieri E. Metastability and nucleation for the Blume–Capel model. Different mechanisms of transition, *Journal of Statistical Physics*, 1996, vol. 83, issues 3–4, pp. 473–554. <https://doi.org/10.1007/BF02183739>
30. Theodorakis P. E., Fytas N. G. Monte Carlo study of the triangular Blume–Capel model under bond randomness, *Physical Review E*, 2012, vol. 86, issue 1, 011140. <https://doi.org/10.1103/PHYSREVE.86.011140>
31. Kim S. Metastability of Blume–Capel model with zero chemical potential and zero external field, *Journal of Statistical Physics*, 2021, vol. 184, issue 3, article number: 33. <https://doi.org/10.1007/s10955-021-02823-0>
32. Khatamov N. M., Khakimov R. M. Translation-invariant Gibbs measures for the Blume–Capel model on a Cayley tree, *Journal of Mathematical Physics, Analysis, Geometry*, 2019, vol. 15, no. 2, pp. 239–255. <https://doi.org/10.15407/mag15.02.239>
33. Khatamov N. M. Translation-invariant extreme Gibbs measures for the Blume–Capel model with wand on a Cayley tree, *Ukrainian Mathematical Journal*, 2020, vol. 72, no. 4, pp. 623–641.

- <https://doi.org/10.1007/s11253-020-01804-y>
34. Khatamov N.M. Holliday junctions in the Blume–Capel model of DNA, *Theoretical and Mathematical Physics*, 2021, vol. 206, no. 3, pp. 383–390. <https://doi.org/10.1134/S0040577921030090>
  35. Khatamov N.M. Holliday junctions in the HC Blume–Capel model in “one case” on DNA, *Nanosystems: Physics, Chemistry, Mathematics*, 2021, vol. 12, no. 5, pp. 563–568. <https://doi.org/10.17586/2220-8054-2021-12-5-563-568>
  36. Prasolov V. V. *Polynomials*, Berlin: Springer, 2004. <https://doi.org/10.1007/978-3-642-03980-5>
  37. Kesten H., Stigum B.P. Additional limit theorems for indecomposable multidimensional Galton–Watson processes, *The Annals of Mathematical Statistics*, 1966, vol. 37, issue 6, pp. 1463–1481. <https://doi.org/10.1214/AOMS/1177699139>
  38. Martinelli F., Sinclair A., Weitz D. Fast mixing for independent sets, colorings, and other models on trees, *Random Structures and Algorithms*, 2007, vol. 31, issue 2, pp. 134–172. <https://doi.org/10.1002/rsa.20132>
  39. Külske C., Rozikov U. A. Fuzzy transformations and extremality of Gibbs measures for the Potts model on a Cayley tree, *Random Structures and Algorithms*, 2016, vol. 50, issue 4, pp. 636–678. <https://doi.org/10.1002/rsa.20671>

Received 19.04.2022

Accepted 28.05.2022

Nosir Muydinovich Khatamov, Candidate of Physics and Mathematics, Department of Mathematical Analysis, Namangan State University, ul. Uychi, 316, Namangan, 160119, Uzbekistan;  
Doctoral Student, Institute of Mathematics named after V.I. Romanovsky, ul. Universitetskaya, 9, Tashkent, 100174, Uzbekistan.

ORCID: <https://orcid.org/0000-0002-2902-7982>

E-mail: [nxatamov@mail.ru](mailto:nxatamov@mail.ru)

**Citation:** N. M. Khatamov. Extremality of some Gibbs measures for the Blume–Capel HC-model on a Cayley tree, *Vestnik Udmurtskogo Universiteta. Matematika. Mekhanika. Komp'yuternye Nauki*, 2022, vol. 32, issue 2, pp. 256–277.